

# Mechanik und Tragkonstruktion

---

Formelsammlung

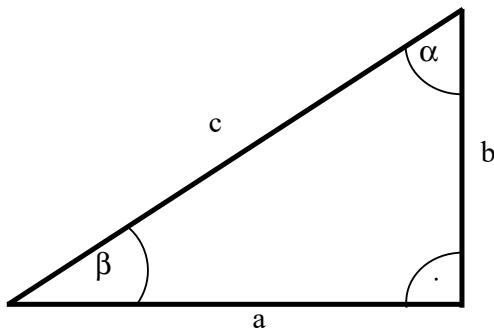
**Prof. Dr.-Ing. Agnes Weilandt; Prof. Dr.-Ing. Daniel Pfanner**

# 1. Geometrie

---

## 1.1. Rechtwinkliges Dreieck

$$\sin \alpha = \frac{\text{Gegenkathete}}{\text{Hypotenuse}} = \frac{a}{c}$$

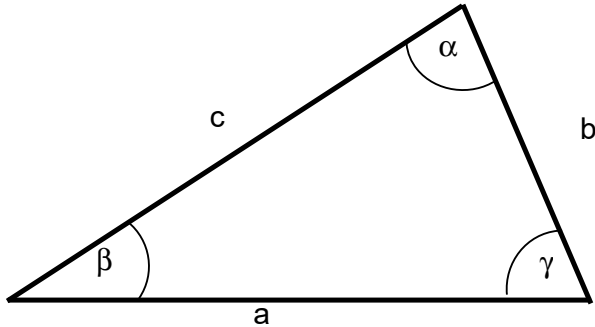


$$\cos \alpha = \frac{\text{Ankathete}}{\text{Hypotenuse}} = \frac{b}{c}$$

$$\tan \alpha = \frac{\text{Gegenkathete}}{\text{Ankathete}} = \frac{a}{b}$$

$$\text{Satz des Pythagoras: } c^2 = a^2 + b^2$$

## 1.2. Allgemeines Dreieck



Kosinussatz:

$$c^2 = a^2 + b^2 - 2ab \cos \gamma$$

Sinussatz:

$$a : b : c = \sin \alpha : \sin \beta : \sin \gamma$$

## 2. Zentrales Kraftsystem

### 2.1. Bestimmung der Resultierenden

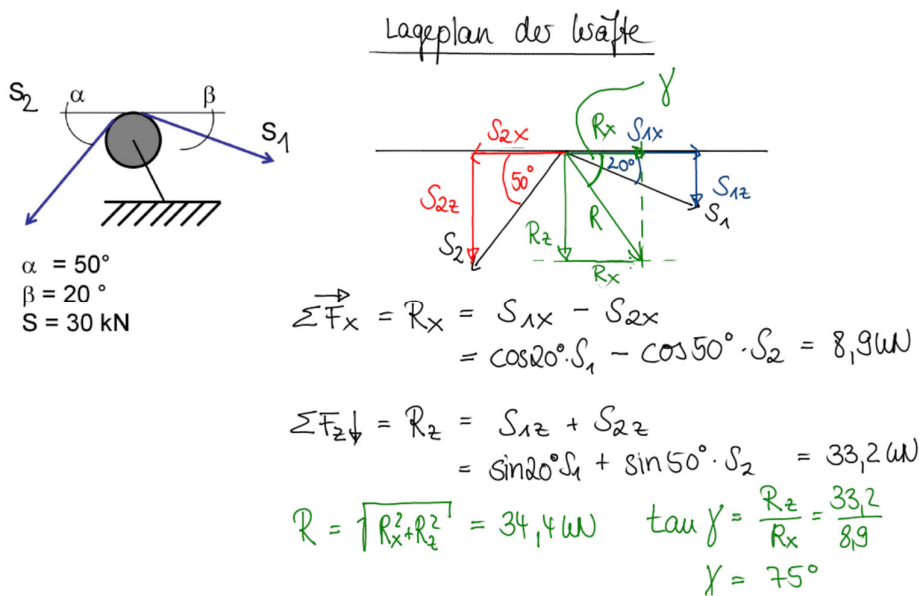
Kräfte, die auf verschiedenen Wirkungslinien liegen, können durch das *Parallelogramm der Kräfte* zur *Resultierenden R* zusammengefasst werden.

- Die geometrische Konstruktion entspricht der Vektoraddition.
- Die Reihenfolge der Addition ist beliebig.

#### Rechnerisches Verfahren:

Vorgehen:

- *Lageplan* der Kräfte zeichnen.
- Ermittlung der Komponenten der Kräfte durch Berücksichtigung der Winkelbeziehungen in x-Richtung.
- Ermittlung der Komponenten durch Berücksichtigung der Winkelbeziehungen in z-Richtung.
- Addition der jeweiligen Komponenten.
- Bestimmung der Resultierenden durch den Pythagoras.



## 2.2. Gleichgewicht im zentralen Kraftsystem

Drei oder mehr Kräfte sind im Gleichgewicht, wenn sich ihre Wirkungslinien in einem Punkt schneiden und der Kräfteplan geschlossen ist (Einbahnverkehr).

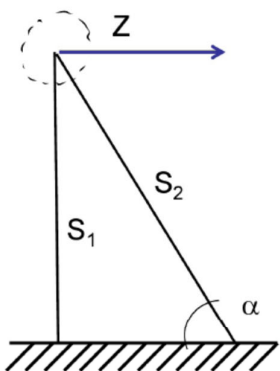
Der Umfahrungssinn muss stetig sein.

Das heißt, dass die Resultierende Null sein muss:

$$R = \sum F_i = 0 \quad \sum F_{i,x} = 0 \quad \sum F_{i,y} = 0$$

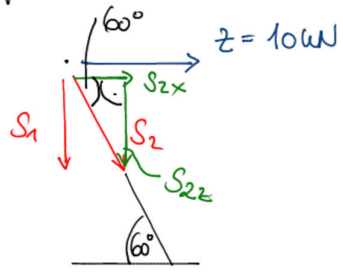
gesucht:  $S_1$  und  $S_2$  damit Gleichgewicht herrscht.

### 1. Lageplan des Wälze



$$\alpha = 60^\circ$$

$$Z = 10 \text{ kN}$$



$$\sum F_x = 0: 10 \text{ kN} + S_{2x} = 0 \quad S_{2x} = -10 \text{ kN}$$

$$S_{2x} = \cos 60^\circ \cdot S_2 \quad S_2 = \frac{-10}{\cos 60^\circ} = -20 \text{ kN}$$

$$\sum F_z = 0: S_{2z} + S_1 = 0$$

$$S_{2z} = \sin 60^\circ \cdot S_2 = -17,32 \text{ kN}$$

$$S_1 = 17,32 \text{ kN}$$

## 3. Allgemeines Kraftsystem

---

### 3.1. Ermittlung der Resultierenden im allgemeinen Kraftsystem

Die Resultierende im allgemeinen Kraftsystem kann mit

$$R_x = \sum F_{ix}$$

$$R = \sqrt{R_x^2 + R_z^2}$$

$$R_z = \sum F_{iz}$$

ermittelt werden.

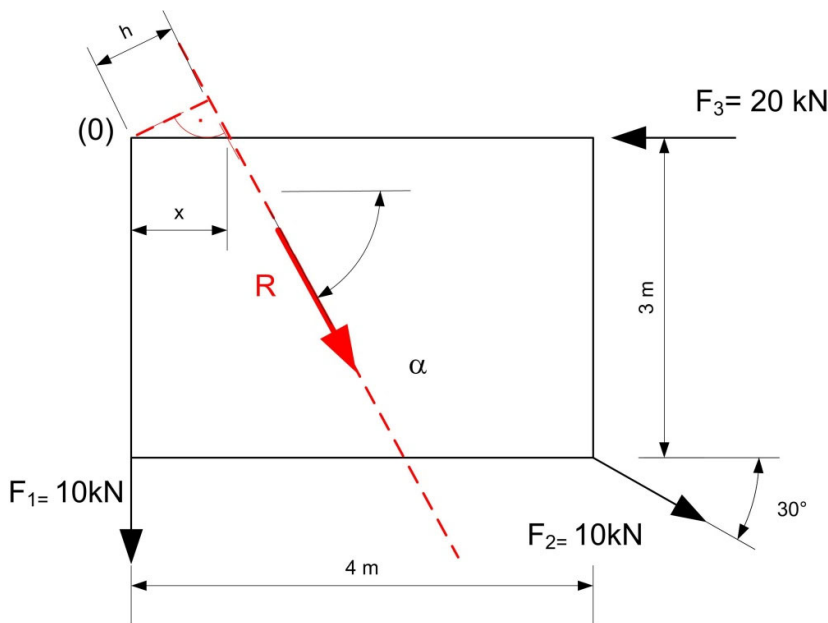
Die Richtung der Resultierenden ergibt sich aus.

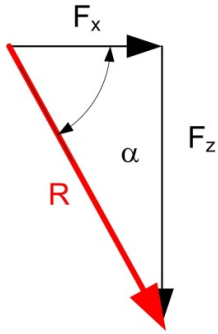
$$\tan \alpha = \frac{R_z}{R_x}$$

Die Lage der Resultierenden Kraft ergibt sich nach der Ermittlung des resultierenden Momentes um einen beliebigen Punkt mit

$$M_R = \sum M_i$$

$$h = \frac{M_R}{R} \text{ oder } x = \frac{M_R}{R_z}$$





$$\sum F_z = 0 \downarrow : 10\text{ kN} + \sin 30^\circ \cdot 30 \text{ kN} = 25\text{ kN}$$

$$\sum F_x = 0 \rightarrow : \cos 30^\circ \cdot 30\text{ kN} - 20\text{ kN} = 5,98 \text{ kN}$$

$$R = \sqrt{F_x^2 + F_z^2} = 25,70 \text{ kN} \quad \text{und} \quad \alpha = \arctan(25 \text{ kN} / 5,98 \text{ kN}) 76,55^\circ$$

Resultierendes Moment um (0) infolge der äußeren Kräfte

$$\begin{aligned} M_{r(0)} &= \sum M_{(0)} \text{ } \textcircled{s} \\ &= F_1 \cdot 0 + F_3 \cdot 0 - \sin 30^\circ \cdot 30 \text{ kN} \cdot 4 \text{ m} + \cos 30^\circ \cdot 30 \text{ kN} \cdot 3 \text{ m} = 17,94 \text{ kN} \end{aligned}$$

Lage der Wirkungslinie von R:

$$h = \frac{M_R}{R} = 0,696 \text{ m} \text{ bzw. } x = \frac{M_R}{R_Z} = 0,718 \text{ m}$$

### **3.2. Gleichgewicht im allgemeinen Kraftsystem**

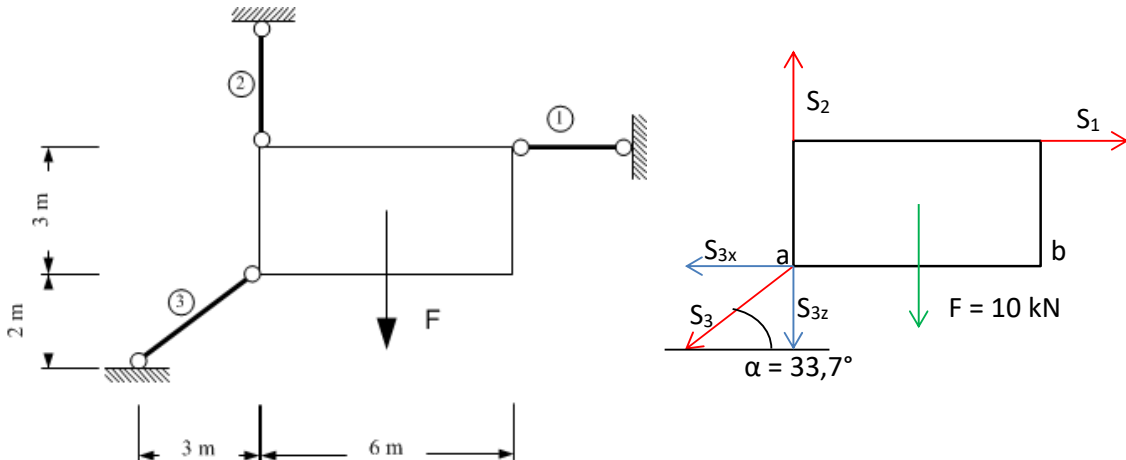
Im allgemeinen Kraftsystem kann das Gleichgewicht über die drei Gleichungen

$$\sum F_{ix} = 0 \quad \sum F_{iz} = 0 \quad \sum M_i = 0$$

bestimmt werden.

Statt der Kräftegleichgewichte können weitere Momentengleichgewichte um andere Punkte aufgestellt werden.

Die Berechnung kann durch eine unabhängige Kontrolle, zum Beispiel  
Momentengleichgewicht um einen weiteren Punkt, kontrolliert werden.



$$\sum M_a \circlearrowleft = 0: -10 \text{ kN} \cdot 3 \text{ m} - S_1 \cdot 3 \text{ m} = 0 \quad S_1 = -10 \text{ kN}$$

$$\sum F_x \rightarrow = 0: S_1 - S_{3x} = 0 \quad S_{3x} = -10 \text{ kN}$$

$$S_3 = S_{3x}/\cos 33,7^\circ = -12,0 \text{ kN} \quad S_{3z} = \sin 33,7^\circ \cdot S_3 = -6,67 \text{ kN}$$

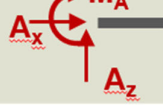
$$\sum F_z \downarrow = 0: 10 \text{ kN} + S_{3z} - S_2 = 0 \quad S_2 = 3,33 \text{ kN}$$

Unabhängige Kontrolle:

$$\sum M_b \circlearrowleft = 0: 10 \text{ kN} \cdot 3 \text{ m} + (-6,67 \text{ kN}) \cdot 6 \text{ m} - 3,33 \text{ kN} \cdot 6 \text{ m} - (-10 \text{ kN}) \cdot 3 \text{ m} = 0 \quad \checkmark$$

## 4. Auflager

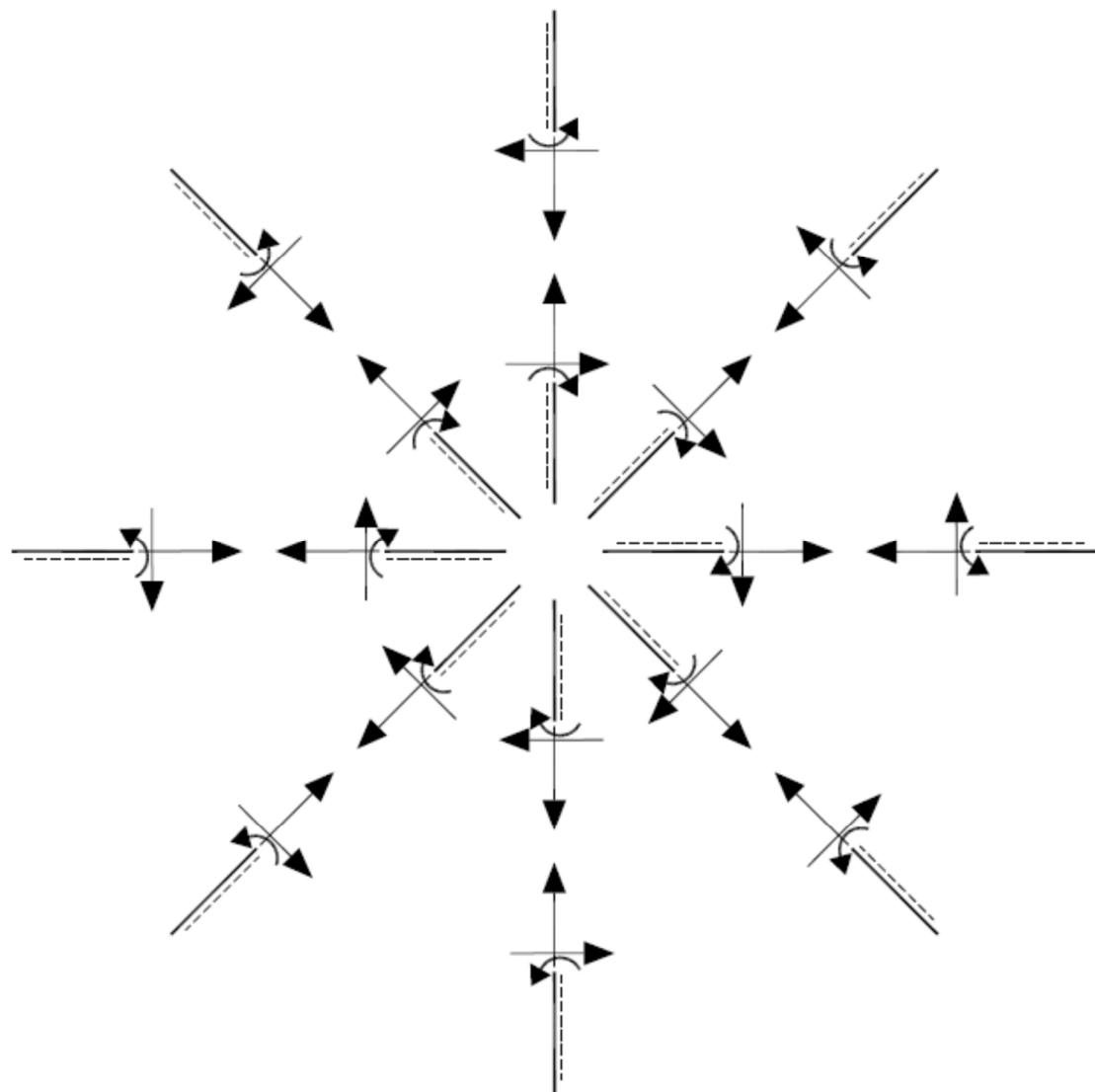
---

Prinzip	Bezeichnung	Symbole	Bewegungs-möglichkeit	Auflagerkraft-Freischnitt	Anzahl Reaktionen
	Loslager, Gleitlager	 	Verschiebung in 1 Achse und 1 Verdrehung		1 ("1-wertiges Lager")
	Festlager	 	1 Verdrehung		2 ("2-wertiges Lager")
	Einspannung	 	keine		3 ("3-wertiges Lager")

## 5. Biegeträger

---

### 5.1. Vorzeichenkonvention für Schnittkräfte – Positive Schnittgrößen für verschiedene Stabdrehwinkel



## 5.2. Schnittkraftermittlung an einzelnen Schnitten

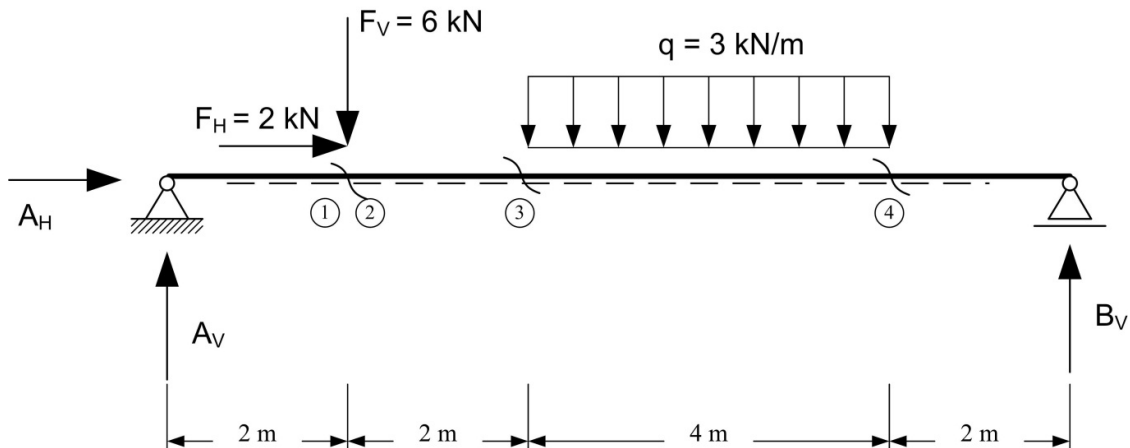
### Vorgehen:

- Ermittlung der Auflagerkräfte mit dem äußeren Gleichgewicht
- Ermittlung der Schnittkräfte an markanten Stellen
- Die Schnittkräfte werden als **positive** Schnittkräfte gem. der Vorzeichenkonvention an der Schnittstelle eingetragen.
- Mit den drei Gleichgewichtsbedingungen werden die unbekannten Schnittgrößen  $N$ ,  $V$ ,  $M$  ermittelt.

$$\sum F_x = 0 ; \sum F_z = 0 ; \sum M = 0$$

- Am freien Ende ohne äußere Lasten sind die Schnittkräfte = 0.

### Beispiel



Auflagerkräfte

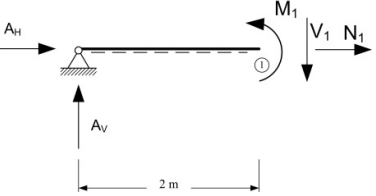
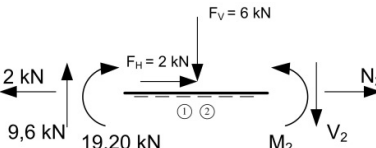
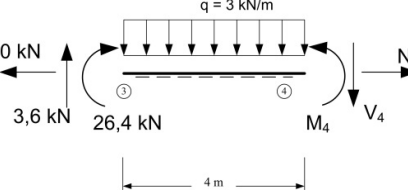
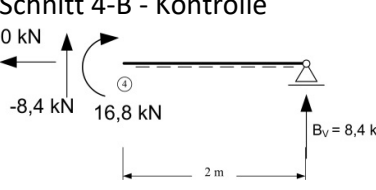
$$\Sigma \text{ } \textcircled{M}_A = 0 = -6,00 \text{ kN} * 2,00 \text{ m} + V_B * 10,00 \text{ m} - 3,00 \text{ kN/m} * 4,00 \text{ m} * 6,00 \text{ m} \Leftrightarrow V_B = 8,40 \text{ kN}$$

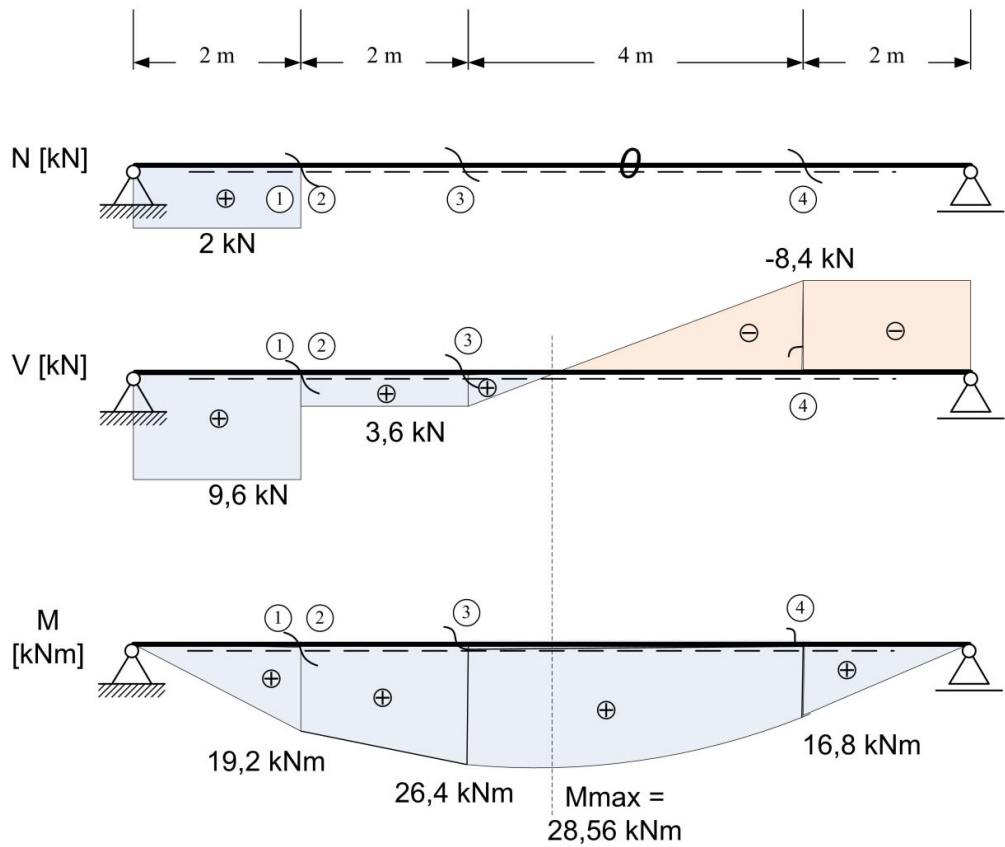
$$\Sigma \text{ } \textcircled{M}_B = 0 = -V_A * 10,00 \text{ m} + 6,00 \text{ kN} * 8,00 \text{ m} + 3,00 \text{ kN/m} * 4,00 \text{ m} * 4,00 \text{ m} \Leftrightarrow V_A = 9,60 \text{ kN}$$

$$\Sigma \rightarrow H = 0 = H_A + 2,00 \text{ kN} \Leftrightarrow H_A = -2,00 \text{ kN}$$

Kontrolle der vertikalen Auflagerkräfte:

$$\Sigma \downarrow V = 0 = -9,60 \text{ kN} - 8,40 \text{ kN} + 6,00 \text{ kN} + 3,00 \text{ kN/m} * 4,00 \text{ m} \Leftrightarrow 0 = 0$$

<b>Schnitt A-1</b> 	$\Sigma \rightarrow H = 0 = N_1 - 2,00 \text{ kN} \Leftrightarrow N_1 = 2,00 \text{ kN}$ $\Sigma \downarrow V = 0 = V_1 - 9,60 \text{ kN} \Leftrightarrow V_1 = 9,60 \text{ kN}$ $\Sigma \circ M = 0 = M_1 - 9,60 \text{ kN/m} * 2,00 \text{ m} \Leftrightarrow M_1 = 19,20 \text{ kNm}$
<b>Schnitt 1-2</b> 	$\Sigma \rightarrow H = 0 = N_2 + 2,00 \text{ kN} - 2,00 \text{ kN} \Leftrightarrow N_2 = 0,00 \text{ kN}$ $\Sigma \downarrow V = 0 = V_2 + 6,00 \text{ kN} - 9,60 \text{ kN} \Leftrightarrow V_2 = 3,60 \text{ kN}$ $\Sigma \circ M = 0 = M_2 - 19,20 \text{ kNm} \Leftrightarrow M_2 = 19,20 \text{ kNm}$
<b>Schnitt 2-3</b> 	$\Sigma \rightarrow H = 0 = N_3 - 0,00 \text{ kN} \Leftrightarrow N_3 = 0,00 \text{ kN}$ $\Sigma \downarrow V = 0 = V_3 - 3,60 \text{ kN} \Leftrightarrow V_3 = 3,60 \text{ kN}$ $\Sigma \circ M = 0 = M_3 - 3,60 \text{ kN} * 2,00 \text{ m} - 19,20 \text{ kNm} \Leftrightarrow M_3 = 26,40 \text{ kNm}$
<b>Schnitt 3-4</b> 	$\Sigma \rightarrow H = 0 = N_4 - 0,00 \text{ kN} \Leftrightarrow N_4 = 0,00 \text{ kN}$ $\Sigma \downarrow V = 0 = V_4 + 3,00 \text{ kN/m} * 4,00 \text{ m} - 3,60 \text{ kN} \Leftrightarrow V_4 = - 8,40 \text{ kN}$ $\Sigma \circ M = 0 = M_4 + 3,00 \text{ kN/m} * 4,00 \text{ m} * 2,00 \text{ m} - 26,40 \text{ kNm} - 3,60 \text{ kN} * 4,00 \text{ m} \Leftrightarrow M_4 = 16,80 \text{ kNm}$
<b>Schnitt 4-B - Kontrolle</b> 	$\Sigma \rightarrow H = 0 = 0,00 \text{ kN} \Leftrightarrow 0,00 \text{ kN} = 0,00 \text{ kN}$ $\Sigma \downarrow V = 0 = 8,40 \text{ kN} + (- 8,40 \text{ kN}) \Leftrightarrow 0,00 \text{ kN} = 0,00 \text{ kN}$ $\Sigma \circ M = 0 = 16,80 \text{ kNm} + (- 8,40 \text{ kN}) * 2,00 \text{ m} \Leftrightarrow 0,00 \text{ kNm} = 0,00 \text{ kNm}$



Berechnung des maximalen Moments

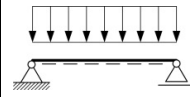
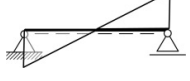
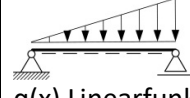
Nulldurchgang der Querkraftlinie:  
 $X_0 = 3,60 \text{ kN} * 3 \text{ kN/m}$   $\Leftrightarrow X_0 = 1,20 \text{ m}$

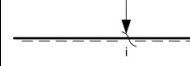
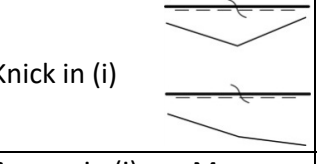
Maximales Moment:  
 $M_{\max} = 26,40 \text{ kNm} - 3,00 \text{ kN/m} * 1,20 \text{ m} * 0,60 \text{ m}$   
 $+ 3,6 \text{ kN} * 1,20 \text{ m}$

$$\Leftrightarrow M_{\max} = 28,56 \text{ kNm}$$

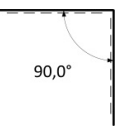
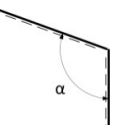
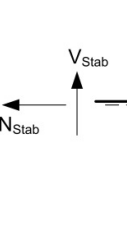
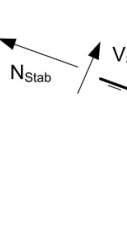
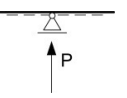
### 5.3. Schnittkräfte – Zusammenhänge

#### Zusammenhang zwischen Querkraft und Moment

Einwirkung	$V(x)$ -Funktion	$M(x)$ - Funktion	Bemerkungen
 $q(x)$ konstant	 $V(x) = 0$ bei $x = V_a/q$		PII(quadratische Parabel) Extremum bei $x$ mit $V(x)=0$
 $q(x)$ Linearfunktion	 PII in pos. x-Richtung abnehmend		Kubische Parabel Extremum bei $x$ mit $V(x)=0$

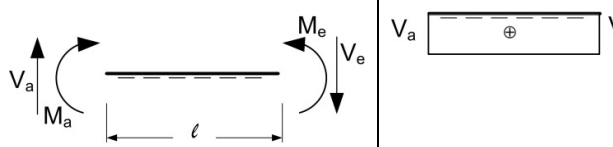
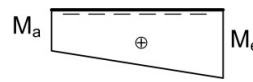
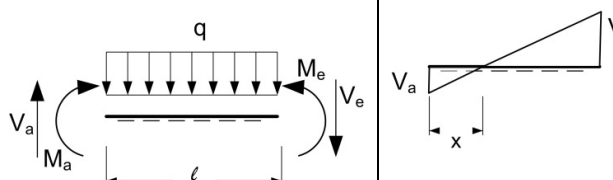
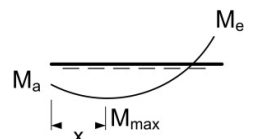
Änderung der Lastfunktion	Einwirkung	$V(x)$ -Funktion	$M(x)$ - Funktion	Bemerkungen
	$q(x)$ mit Knick in (i)	Tangentialer Übergang in (i)	Tangentialer Übergang in (i)	
	$q(x)$ mit Sprung in (i)	Knick in (i)	Tangentialer Übergang in (i)	
	Einzelkraft in (i)	Sprung in (i) um $F$ $V_i, \text{rechts} = V_i, \text{links} - F$	 Knick in (i)	bei Vorzeichen-Wechsel von $V$ ohne Vorzeichen-Wechsel von $V$
	Einzelmoment in (i)	Durchgehend konstant	Sprung in (i) um $M_L$	Verlauf von $M$ rechts und links von i abhängig von $V$

### Geometrische Zusammenhänge

Beschreibung	Beschreibung	N(x)- Funktion/ V(x)-Funktion	M(x)- Funktion
	Ecke 90°	$N \rightarrow V$ $V \rightarrow N$ Vorzeichen abhängig von gestrichelter Linie	konstant
	Schräge Ecke	Anteiliger Wechsel von N und V Vorzeichen abhängig von gestrichelter Linie	Konstant
	Gelenkiger Stabanschluss 90°	$V, N$ im vertikalen Stab ändern sich sprunghaft $V$ um $N_{\text{Stab}}$ $N$ um $V_{\text{Stab}}$ Vorzeichen abhängig von gestrichelter Linie	konstant mit Knick, wenn Sprung in $V$
	Schräger Stabanschluss	Anteilige Sprunghafte Änderung von N und V	Konstant, mit Knick, wenn Sprung in $V$
	Gelenkiges Lager unter durchlaufendem Träger	$V$ ändert sich sprunghaft um $P$ $V_i, \text{rechts} = V_i, \text{links} + P$	Knick über Lager Verlauf links und rechts vom Lager abhängig von $V$

### Berechnung von $M(x)$ und $V(x)$ bei bekanntem $M_a$ und $V_a$

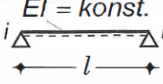
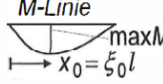
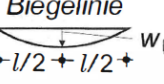
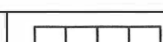
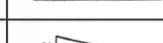
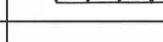
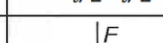
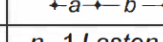
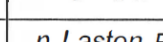
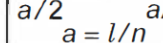
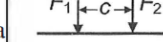
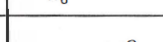
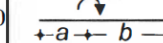
Die im Folgenden angegebenen Formel ergeben sich aus den Gleichgewichtsbedingungen ( $\sum F_z = 0$  und  $\sum M = 0$ ) des betrachteten freigeschnittenen Stababschnittes. Für andere Belastungssituationen können die Schnittgrößen am Stabende entsprechend berechnet werden.

Belastungssituation	$V(x)$ -Fläche	$M(x)$	
	$V_a$  $V_e$ $V_e = V_a$	 $M_a$  $M_e$	$M_e = M_a + V_a \cdot l$ bei $V > 0$ positiv steigend bei $V < 0$ negativ steigend
	$V_a$  $V_e$ $V_e = V_a - q \cdot l$ $V(x) = 0$ bei $x = V_a/q$	 $M_a$  $M_{max}$	$M_e = M_a + V_a \cdot l - q \cdot l^2 / 2$ $M_{max}$ bei $x = V_a/q$ Ermittlung über Gleichgewicht: $M_{max} = M_a + V_a \cdot x - q \cdot x^2 / 2$

## 5.5. Schnittkraftermittlung mit Tabellenwerken

**1.1 Einzelstab**, Vereinbarung:  Lager überträgt nur Vertikalkraft

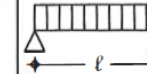
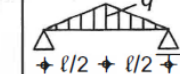
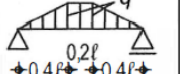
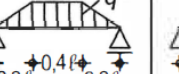
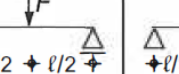
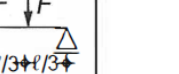
**1.1.1 Träger auf zwei Stützen**,  $\alpha = a/l$ ,  $\beta = b/l$

	$EI = \text{konst.}$ 	<b>Auflagerkräfte</b> 	<b>M-Linie</b> 	<b>Biegelinie</b> 						
1		$\frac{q l}{2}$	$\frac{q l}{2}$	$\frac{q l^2}{8}$ bei $\xi_0 = 0,5$						
2		$\frac{q l}{6}$	$\frac{q l}{3}$	$\frac{q l^2}{15,59}$ bei $\xi_0 = 0,577$						
3		$\frac{q l}{3}$	$\frac{q l}{6}$	$\frac{q l^2}{15,59}$ bei $\xi_0 = 0,423$						
4		$\frac{2q_i + q_k}{6} l$	$\frac{q_i + 2q_k}{6} l$	$\left( \frac{q_i}{2} + \frac{q_k - q_i}{3} \xi_0 \right) \xi_0^2 l^2$ bei $\xi_0 = \frac{(2q_i + q_k)/\sqrt{3}}{q_i\sqrt{3} + \sqrt{q_i^2 + q_i q_k + q_k^2}}$						
5	 quadr. Parabel	$\frac{q l}{3}$	$\frac{q l}{3}$	$\frac{q l^2}{9,6}$ bei $\xi_0 = 0,5$						
6		$\frac{F}{2}$	$\frac{F}{2}$	$\frac{Fl}{4}$ bei $\xi_0 = 0,5$						
7		$\beta F$	$\alpha F$	$\alpha \beta F l$ bei $\xi_0 = \alpha$						
8	 $a = l/n$	$\frac{n-1}{2} F$	$\frac{n-1}{2} F$	<table> <tr> <td><math>n</math> gerade:</td> <td><math>\frac{n}{8} Fl</math></td> <td><math>\frac{nFl^3}{76,8 EI} \left( 1 - \frac{0,8}{n^2} \right)</math></td> </tr> <tr> <td><math>n</math> ungerade:</td> <td><math>\frac{n}{8} Fl \left( 1 - \frac{1}{n^2} \right)</math></td> <td><math>\frac{nFl^3}{76,8 EI} \left( 1 - \frac{0,8}{n^2} - \frac{0,2}{n^4} \right)</math></td> </tr> </table>	$n$ gerade:	$\frac{n}{8} Fl$	$\frac{nFl^3}{76,8 EI} \left( 1 - \frac{0,8}{n^2} \right)$	$n$ ungerade:	$\frac{n}{8} Fl \left( 1 - \frac{1}{n^2} \right)$	$\frac{nFl^3}{76,8 EI} \left( 1 - \frac{0,8}{n^2} - \frac{0,2}{n^4} \right)$
$n$ gerade:	$\frac{n}{8} Fl$	$\frac{nFl^3}{76,8 EI} \left( 1 - \frac{0,8}{n^2} \right)$								
$n$ ungerade:	$\frac{n}{8} Fl \left( 1 - \frac{1}{n^2} \right)$	$\frac{nFl^3}{76,8 EI} \left( 1 - \frac{0,8}{n^2} - \frac{0,2}{n^4} \right)$								
9	 $a = l/n$	$\frac{n}{2} F$	$\frac{n}{2} F$	<table> <tr> <td><math>n</math> gerade:</td> <td><math>\frac{n}{8} Fl</math></td> <td><math>\frac{nFl^3}{76,8 EI} \left( 1 + \frac{0,4}{n^2} \right)</math></td> </tr> <tr> <td><math>n</math> ungerade:</td> <td><math>\frac{n}{8} Fl \left( 1 + \frac{1}{n^2} \right)</math></td> <td><math>\frac{nFl^3}{76,8 EI} \left( 1 + \frac{0,4}{n^2} + \frac{0,2}{n^4} \right)</math></td> </tr> </table>	$n$ gerade:	$\frac{n}{8} Fl$	$\frac{nFl^3}{76,8 EI} \left( 1 + \frac{0,4}{n^2} \right)$	$n$ ungerade:	$\frac{n}{8} Fl \left( 1 + \frac{1}{n^2} \right)$	$\frac{nFl^3}{76,8 EI} \left( 1 + \frac{0,4}{n^2} + \frac{0,2}{n^4} \right)$
$n$ gerade:	$\frac{n}{8} Fl$	$\frac{nFl^3}{76,8 EI} \left( 1 + \frac{0,4}{n^2} \right)$								
$n$ ungerade:	$\frac{n}{8} Fl \left( 1 + \frac{1}{n^2} \right)$	$\frac{nFl^3}{76,8 EI} \left( 1 + \frac{0,4}{n^2} + \frac{0,2}{n^4} \right)$								
9a				$\frac{x_0^2}{l} (F_1 + F_2)$ bei $x_0 = \frac{1}{2} \left( l - \frac{F_2}{F_1 + F_2} c \right)$ wenn $x_0 + c \leq l$						
10		$-\frac{M^e}{l}$	$\frac{M^e}{l}$	$\alpha \leq \frac{1}{2}: \beta M^e$ bei $\xi_0 = \alpha$ $\alpha \geq \frac{1}{2}: -\alpha M^e$ bei $\xi_0 = \alpha$						
11		$\frac{M_k - M_i}{l}$	$-\frac{M_k - M_i}{l}$	$M_i$ oder $M_k$						
12	 $\kappa^e = \alpha_T (T_u - T_o)/h$	0	0	0						
13		0	0	0						
				$\frac{w_i + w_k}{2}$						

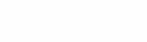
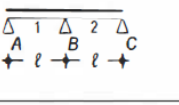
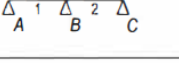
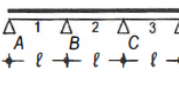
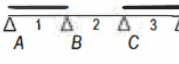
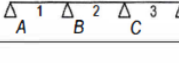
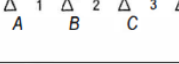
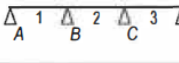
Quelle: Schneider Bautabellen

## 1.4 Durchlaufträger<sup>1)</sup>

### 1.4.1 Durchlaufträger mit gleichen Stützweiten über 2 bis 5 Felder<sup>2)</sup>

	Belastung 1	Belastung 2	Belastung 3	Belastung 4	Belastung 5	Belastung 6
Momente						
Kräfte						

Die Feldmomente  $M_1, M_2$  usw. sind die Größtwerte der Feldmomente in den Feldern 1, 2 usw.

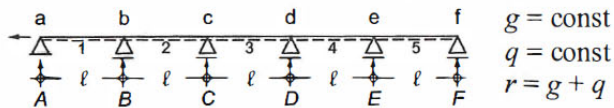
Lastfall	Kraftgrößen						
							
	$M_1$	0,070	0,048	0,056	0,062	0,156	0,222
	$M_b$	-0,125	-0,078	-0,093	-0,106	-0,188	-0,333
	$A$	0,375	0,172	0,207	0,244	0,313	0,667
	$B$	1,250	0,656	0,786	0,911	1,375	2,667
	$V_{bl}$	-0,625	-0,328	-0,393	-0,456	-0,688	-1,333
	$M_1$	0,096	0,065	0,076	0,085	0,203	0,278
	$M_b$	-0,063	-0,039	-0,047	-0,053	-0,094	-0,167
	$A$	0,438	0,211	0,253	0,297	0,406	0,833
	$C$	-0,063	-0,039	-0,047	-0,053	-0,094	-0,167
	$M_1$	0,080	0,054	0,064	0,071	0,175	0,244
	$M_2$	0,025	0,021	0,024	0,025	0,100	0,067
	$M_b$	-0,100	-0,063	-0,074	-0,085	-0,150	-0,267
	$A$	0,400	0,188	0,226	0,265	0,350	0,733
	$B$	1,100	0,563	0,674	0,785	1,150	2,267
	$V_{bl}$	-0,600	-0,313	-0,374	-0,435	-0,650	-1,267
	$M_1$	0,101	0,068	0,080	0,090	0,213	0,289
	$M_2$	-0,050	-0,032	-0,037	-0,043	-0,075	-0,133
	$M_b$	-0,050	-0,032	-0,037	-0,043	-0,075	-0,133
	$A$	0,450	0,219	0,263	0,307	0,425	0,867
	$M_2$	0,075	0,052	0,061	0,067	0,175	0,200
	$M_b$	-0,050	-0,032	-0,037	-0,043	-0,075	-0,133
	$A$	-0,050	-0,032	-0,037	-0,043	-0,075	-0,133
	$M_b$	-0,117	-0,073	-0,087	-0,099	-0,175	-0,311
	$M_c$	-0,033	-0,021	-0,025	-0,029	-0,050	-0,089
	$B$	1,200	0,626	0,749	0,871	1,300	2,533
	$V_{bl}$	-0,617	-0,323	-0,387	-0,449	-0,675	-1,311
	$V_{br}$	0,583	0,303	0,362	0,421	0,625	1,222
	$M_b$	0,017	0,011	0,013	0,015	0,025	0,044
	$M_c$	-0,067	-0,042	-0,050	-0,057	-0,100	-0,178
	$V_{bl}$	0,017	0,011	0,013	0,015	0,025	0,044
	$V_{br}$	-0,083	-0,053	-0,062	-0,071	-0,125	-0,222

Quelle: Schneider Bautabellen

Größtwerte der Biegemomente unter Berücksichtigung ungünstiger Lastanordnung der veränderlichen Lasten

### 1.4.2 Durchlaufträger mit gleichen Stützweiten und Gleichstreckenlast ( $EI = \text{const}$ )<sup>1)</sup>

Größtwerte der Biegemomente, Auflager- und Querkräfte



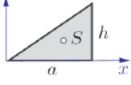
$$\begin{aligned} \text{Momente} &= \text{Tafelwert} \cdot rl^2 \\ \text{Kräfte} &= \text{Tafelwert} \cdot rl \end{aligned}$$

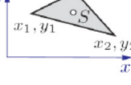
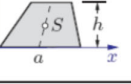
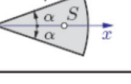
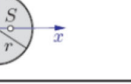
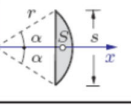
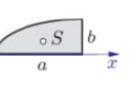
Felder	Kraftgrößen	$q : r$										
		0,0 nur $g$	0,1	0,2	0,3	0,4	0,5	0,6	0,7	0,8	0,9	1,0
2	$M_1$	0,070	0,073	0,075	0,078	0,080	0,083	0,085	0,088	0,090	0,093	0,096
	$M_b$	-0,125	-0,125	-0,125	-0,125	-0,125	-0,125	-0,125	-0,125	-0,125	-0,125	-0,125
	$A$	0,375	0,382	0,388	0,394	0,400	0,407	0,413	0,418	0,426	0,431	0,437
	$B$	1,250	1,250	1,250	1,250	1,250	1,250	1,250	1,250	1,250	1,250	1,250
	$V_{bl}$	-0,625	-0,625	-0,625	-0,625	-0,625	-0,625	-0,625	-0,625	-0,625	-0,625	-0,625
3	$M_1$	0,080	0,082	0,084	0,086	0,088	0,090	0,092	0,095	0,097	0,099	0,101
	$M_2$	0,025	0,030	0,035	0,040	0,045	0,050	0,055	0,060	0,065	0,070	0,075
	$M_b$	-0,100	-0,102	-0,103	-0,105	-0,107	-0,108	-0,110	-0,112	-0,113	-0,115	-0,117
	$A$	0,400	0,405	0,410	0,415	0,420	0,426	0,429	0,435	0,441	0,444	0,450
	$B$	1,099	1,110	1,117	1,132	1,141	1,151	1,159	1,172	1,181	1,188	1,202
4	$V_{bl}$	-0,599	-0,602	-0,602	-0,606	-0,606	-0,610	-0,610	-0,613	-0,613	-0,613	-0,617
	$V_{br}$	0,500	0,508	0,515	0,526	0,535	0,541	0,549	0,559	0,568	0,575	0,585
	$M_1$	0,077	0,079	0,081	0,084	0,086	0,088	0,090	0,093	0,095	0,097	0,100
	$M_2$	0,036	0,041	0,045	0,050	0,054	0,058	0,063	0,067	0,072	0,076	0,081
	$M_b$	-0,107	-0,108	-0,110	-0,111	-0,113	-0,114	-0,115	-0,117	-0,118	-0,119	-0,121
5	$M_c$	-0,071	-0,075	-0,079	-0,082	-0,086	-0,089	-0,093	-0,096	-0,100	-0,104	-0,107
	$A$	0,392	0,398	0,403	0,408	0,415	0,420	0,426	0,431	0,435	0,441	0,446
	$B$	1,141	1,153	1,159	1,166	1,175	1,181	1,188	1,198	1,205	1,216	1,223
	$C$	0,930	0,948	0,970	0,996	1,016	1,036	1,058	1,082	1,098	1,124	1,142
	$V_{bl}$	-0,606	-0,610	-0,610	-0,613	-0,613	-0,613	-0,613	-0,617	-0,617	-0,621	-0,621
6	$V_{br}$	0,535	0,544	0,549	0,556	0,562	0,568	0,575	0,581	0,588	0,595	0,602
	$V_{cl}$	-0,465	-0,474	-0,485	-0,498	-0,508	-0,518	-0,529	-0,541	-0,549	-0,562	-0,571
	$M_1$	0,078	0,080	0,082	0,084	0,086	0,089	0,091	0,093	0,095	0,098	0,100
	$M_2$	0,033	0,038	0,042	0,047	0,052	0,056	0,061	0,065	0,070	0,075	0,079
	$M_3$	0,046	0,050	0,054	0,058	0,062	0,066	0,070	0,074	0,078	0,082	0,086
7	$M_b$	-0,105	-0,107	-0,108	-0,110	-0,111	-0,112	-0,114	-0,115	-0,117	-0,118	-0,120
	$M_c$	-0,079	-0,082	-0,085	-0,089	-0,092	-0,095	-0,098	-0,102	-0,105	-0,108	-0,111
	$A$	0,395	0,400	0,405	0,410	0,415	0,422	0,426	0,431	0,437	0,442	0,447
	$B$	1,132	1,141	1,151	1,156	1,166	1,175	1,181	1,191	1,202	1,209	1,220
	$C$	0,974	0,993	1,013	1,031	1,053	1,072	1,091	1,111	1,127	1,146	1,170
8	$V_{bl}$	-0,606	-0,606	-0,610	-0,610	-0,610	-0,613	-0,613	-0,613	-0,617	-0,617	-0,621
	$V_{br}$	0,526	0,535	0,541	0,546	0,556	0,562	0,568	0,578	0,585	0,592	0,599
	$V_{cl}$	-0,474	-0,483	-0,495	-0,505	-0,515	-0,526	-0,535	-0,546	-0,556	-0,565	-0,578
	$V_{cr}$	0,500	0,510	0,518	0,526	0,538	0,546	0,556	0,565	0,571	0,581	0,592

Quelle: Schneider Bautabellen

## Festigkeitslehre

### 5.6. Bekannte Schwerpunkte

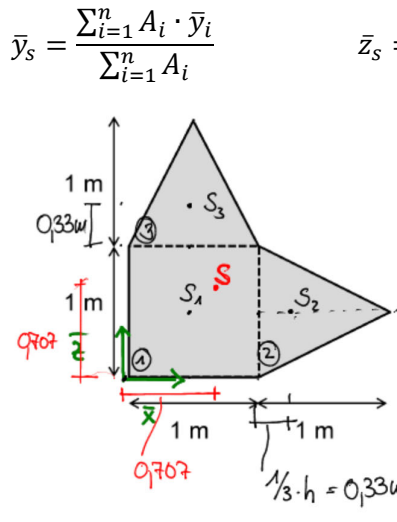
Fläche	Flächeninhalt	Schwerpunktslage
rechtwinkliges Dreieck		
	$A = \frac{1}{2}ah$	$x_s = \frac{2}{3}a, y_s = \frac{h}{3}$

Fläche	Flächeninhalt	Schwerpunktslage
beliebiges Dreieck		
	$A = \frac{1}{2}[(x_2 - x_1)(y_3 - y_1) - (x_3 - x_1)(y_2 - y_1)]$	$x_s = \frac{1}{3}(x_1 + x_2 + x_3)$ $y_s = \frac{1}{3}(y_1 + y_2 + y_3)$
Parallelogramm		
	$A = ah$	$S$ liegt im Schnittpunkt der Diagonalen
Trapez		
	$A = \frac{h}{2}(a + b)$	$S$ liegt auf der Seitenhalbierenden $y_s = \frac{h}{3} \frac{a + 2b}{a + b}$
Kreisausschnitt		
	$A = \alpha r^2$	$x_s = \frac{2}{3}r \frac{\sin \alpha}{\alpha}$
Halbkreis		
	$A = \frac{\pi}{2}r^2$	$x_s = \frac{4r}{3\pi}$
Kreisabschnitt		
	$A = \frac{1}{2}r^2(2\alpha - \sin 2\alpha)$	$x_s = \frac{s^3}{12A}$ $= \frac{4}{3}r \frac{\sin^3 \alpha}{2\alpha - \sin 2\alpha}$
quadratische Parabel		
	$A = \frac{2}{3}ab$	$x_s = \frac{3}{5}a$ $y_s = \frac{3}{8}b$

### 5.7. Bestimmung des Schwerpunktes beliebiger zusammengesetzter Flächen

Vorgehen:

- Aufteilen der Fläche in bekannte Teilflächen
- Ursprung und Koordinatensystem  $\bar{y}$  und  $\bar{z}$  wählen
- Ermitteln der Teilflächen  $A_i$  und der Teilflächenschwerpunkte  $\bar{z}_i$  und  $\bar{y}_i$
- Berechnung der Schwerpunktkoordinaten



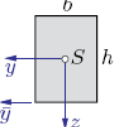
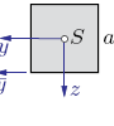
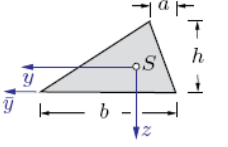
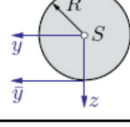
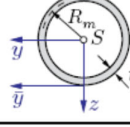
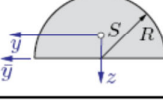
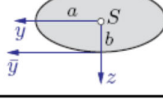
Nr	$A [\text{m}^2]$	$\bar{x}_i$	$\bar{z}_i$
1	1	0,5	0,5
2	0,5	1,33	0,5
3	0,5m	0,5	1,33

$$\bar{x}_s = \frac{A_1 \cdot \bar{x}_1 + A_2 \cdot \bar{x}_2 + A_3 \cdot \bar{x}_3}{\sum A_i} = \frac{\sum A_i \cdot \bar{x}_i}{\sum A_i}$$

$$= 0,707\text{m}$$

$$\bar{z}_s = \frac{A_1 \cdot \bar{z}_1 + A_2 \cdot \bar{z}_2 + A_3 \cdot \bar{z}_3}{\sum A_i} = \frac{1 \cdot 0,5 + 0,5 \cdot 0,5 + 0,5 \cdot 1,33}{2\text{m}^2} = 0,707\text{m}$$

### 5.8. Bekannte Flächenträgheitsmomente

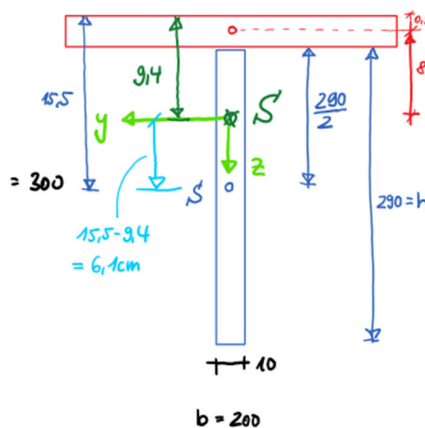
Fläche	$I_y$	$I_z$	$I_{yz}$	$I_p$	$I_{\bar{y}}$
Rechteck 	$\frac{b h^3}{12}$	$\frac{h b^3}{12}$	0	$\frac{b h}{12}(h^2 + b^2)$	$\frac{b h^3}{3}$
Quadrat 	$\frac{a^4}{12}$	$\frac{a^4}{12}$	0	$\frac{a^4}{6}$	$\frac{a^4}{3}$
Dreieck 	$\frac{b h^3}{36}$	$\frac{b h}{36}(b^2 - b a + a^2)$	$-\frac{b h^2}{72}(b - 2 a)$	$\frac{b h}{36}(h^2 + b^2 - b a + a^2)$	$\frac{b h^3}{12}$
Kreis 	$\frac{\pi R^4}{4}$	$\frac{\pi R^4}{4}$	0	$\frac{\pi R^4}{2}$	$\frac{5\pi}{4}R^4$
dünner Kreisring $t \ll R_m$ 				$2\pi R_m^3 t$	$3\pi R_m^3 t$
Halbkreis 	$\frac{R^4}{72\pi}(9\pi^2 - 64)$	$\frac{\pi R^4}{8}$	0	$\frac{R^4}{36\pi}(9\pi^2 - 32)$	$\frac{\pi R^4}{8}$
Ellipse 	$\frac{\pi}{4} a b^3$	$\frac{\pi}{4} b a^3$	0	$\frac{\pi a b}{4}(a^2 + b^2)$	$\frac{5\pi}{4} a b^3$

Weitere Querschnittswerte können z.B. im Stahlbau Profiltabellen entnommen werden.

### 5.9. Bestimmung des Flächenträgheitsmoments bei symmetrischen Querschnitten

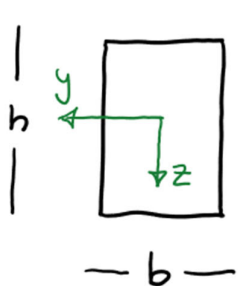
$$I_y = \sum (I_{yi} + A_i \cdot z_i^2)$$

$$I_z = \sum (I_{zi} + A_i \cdot y_i^2)$$



$$\begin{aligned} I_y &= \sum (I_{yi} + A_i \cdot z_i^2) \\ &= \frac{1^3 \cdot 20}{12} + 1 \cdot 20 \cdot (-8.1)^2 \\ &\quad + \frac{1 \cdot 29^3}{12} + 1 \cdot 29 \cdot (6.1)^2 = 4697 \text{ cm}^4 \end{aligned}$$

$$\begin{aligned} I_z &= \sum (I_{zi} + A_i \cdot y_i^2) \\ &= \frac{1}{12} + 29 \cdot 20 \cdot (0)^2 \\ &\quad + \frac{1^3 \cdot 29}{12} + 1 \cdot 29 \cdot (0)^2 = 669 \text{ cm}^4 \end{aligned}$$

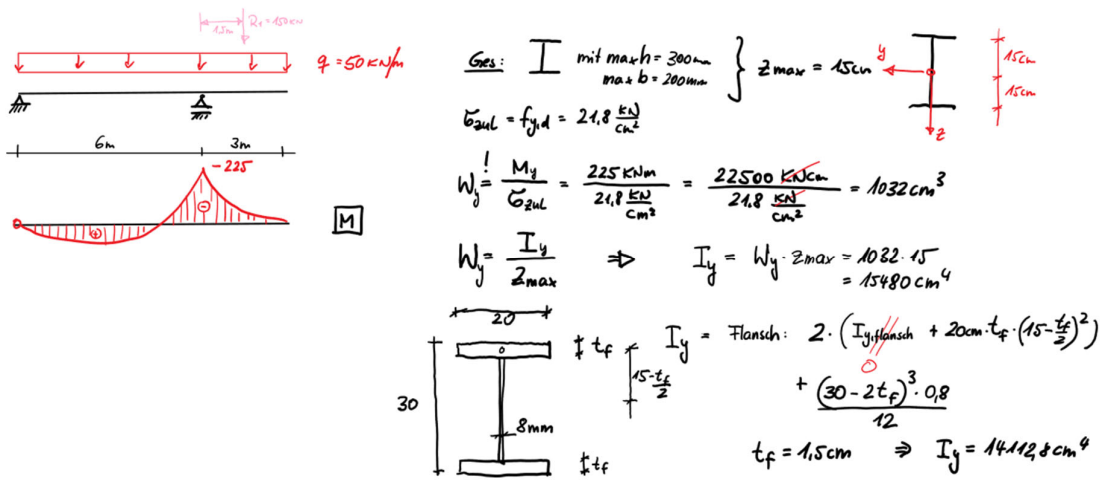


$$\left. \begin{array}{l} I_{y,\square} = \frac{b \cdot h^3}{12} \\ I_{z,\square} = \frac{b^3 \cdot h}{12} \end{array} \right\} \begin{array}{l} h \perp y\text{-Achse} \\ b \perp z\text{-Achse} \end{array}$$

### 5.10. Normalspannung infolge Biegung und Normalkraft bei symmetrischen Querschnitten

$$\sigma_x(y, z) = \frac{M_y}{I_y} \cdot z + \frac{N}{A}$$

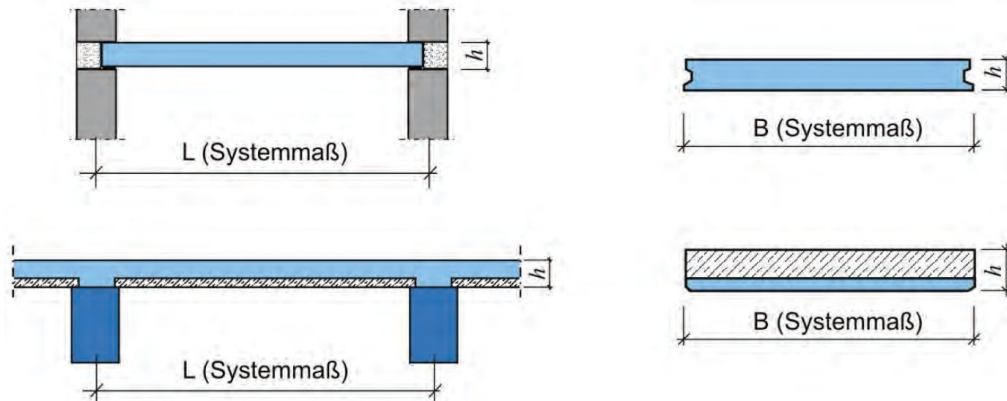
$$\sigma_{x,max} = \frac{M_y}{W_y} + \frac{N}{A} \text{ mit } W_y = I_y / |z_{max}|$$



## 6. Stahlbeton-Vorbemessung

### 6.1. Stahlbeton-Vollplatten und Elementdecken

Systemskizze

Tabelle 16: Deckendicke  $h$  [mm] in Abhängigkeit von den Einwirkungen  $g_{k,i} + q_{k,i}$  für Durchlaufsysteme<sup>1)</sup>

Systemmaß $L$ [m]	Deckendicke $h$ [mm] bei Einwirkungen $g_{k,i} + q_{k,i}$ [kN/m <sup>2</sup> ] für Durchlaufsysteme <sup>1)</sup>												
	1,0	1,5	2,0	2,5	3,0	3,5	4,0	4,5	5,0	7,5	10,0	15,0	20,0
3,0	120						120				140		160
4,0	140						140				160		180
5,0 <sup>2)</sup>					180						200		220
6,0 <sup>2)</sup>					220						240		
7,5 <sup>2)</sup>			240				260				280		300

- 1) Bei einfeldrigen Platten ist die Deckendicke  $h$  um ca. 15% zu erhöhen.
- 2) Bei aufstehenden Trennwänden können zusätzliche Maßnahmen erforderlich sein (z. B. rissichere Trennwände, größere Deckendicke)

#### Beispiel

Belag und Ausbaulasten  $g_{k,2} = 1,50 \text{ kN/m}^2$

Nutzlasten  $q_k = 2,00 \text{ kN/m}^2$

Lasten  $g_{k,i} + q_k = 3,50 \text{ kN/m}^2$

Systemmaß  $L = 5,00 \text{ m}$

abgelesen  $h = 180 \text{ mm}$

Bei einfeldrigen Platten  $h = 200 \text{ mm}$

## 6.2. Bewehrung

Betonstabstahl B500A (Quelle: Schneider Bautabellen)

## Abmessungen und Gewichte

Nenndurchmesser $\varnothing_s$ in mm	6	8	10	12	14	16	20	25	28
Nennquerschnitt $A_s$ in $\text{cm}^2$	0,283	0,503	0,785	1,13	1,54	2,01	3,14	4,91	6,16
Nengewicht $G$ in $\text{kg}/\text{m}$	0,222	0,395	0,617	0,888	1,21	1,58	2,47	3,85	4,83

Betonstahlmatten B500A (Quelle: Schneider Bautabellen)

## Lagermatten Lieferprogramm

(ab 01.01.2008)

Länge Breite	Randeinsparung (Längsrichtung)	Matten- be- zeichnung	Mattenaufbau in Stabdurchmesser			Längsrichtung Querrichtung		Quer- schnitte längs quer cm <sup>2</sup> /m	Gewicht	
			Stab- ab- stände	Innen- bereich	Rand- bereich	Anzahl der Längsrandstäbe	links		je Matte	je m <sup>2</sup>
m			mm	mm						kg
6,00 2,30	ohne	Q188 A	150 · 6,0					1,88	41,7	3,02
			150 · 6,0					1,88		
		Q257 A	150 · 7,0					2,57	56,8	4,12
	mit	Q335 A	150 · 7,0					2,57		
		Q424 A	150 · 8,0					3,35	74,3	5,38
			150 · 8,0					3,35		
6,00 2,35	mit	Q424 A	150 · 9,0	/ 7,0	- 4	/ 4		4,24	84,4	6,12
			150 · 9,0					4,24		
		Q524 A	150 · 10,0	/ 7,0	- 4	/ 4		5,24	100,9	7,31
			150 · 10,0					5,24		
6,00 2,30	ohne	Q636 A	100 · 9,0	/ 7,0	- 4	/ 4		6,36	132,0	9,36
			125 · 10,0					6,28		
		R188 A	150 · 6,0					1,88	33,6	2,43
	mit		250 · 6,0					1,13		
		R257 A	150 · 7,0					2,57	41,2	2,99
			250 · 6,0					1,13		
		R335 A	150 · 8,0					3,35	50,2	3,64
			250 · 6,0					1,13		
		R424 A	150 · 9,0	/ 8,0	- 2	/ 2		4,24	67,2	4,87
			250 · 8,0					2,01		
		R524 A	150 · 10,0	/ 8,0	- 2	/ 2		5,24	75,7	5,49
			250 · 8,0					2,01		

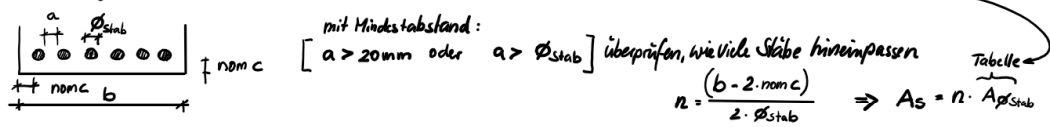
### 6.3. Vorbemessung Stahlbetonträger

① Einwirkendes Moment :  
 $M_{sd} \text{ bestimmen} = M_g \cdot 1,35 + M_q \cdot 1,5$   
 Ergbnis:  $M_{sd}$  (Von oben nach unten: Beton, Stahl, Schneefall)  
 Zusätzlich berücksichtigen: Sicherheitsbeiwerte Lastseite:  
 $\gamma_g = 1,35 \quad \gamma_q = 1,5$

② Querschnitt als  $\square$  vorgeben:  
 $b = \dots \quad h = \dots \quad g_{Träger} = b \cdot h \cdot 25 \frac{\text{KN}}{\text{m}^3}$

③ Innerer Hebelarm:  $z = 0,8 \cdot d = 0,8 \cdot (n\text{-Betondeckung})$   
 (Betondeckung wird vorgegeben)

④ Bewehrung auf Zugseite vorgeben



⑤  $F_{sd}$  berechnen:  $F_{sd} = A_s \cdot f_yd = A_s \cdot \frac{50 \text{ KN} / \text{cm}^2}{1,15}$

⑥  $M_{rd} = F_{sd} \cdot z$

$100\% \geq \frac{M_{rd}}{M_{sd}} \geq 80\% \quad \rightarrow ⑦$

$\frac{M_{rd}}{M_{sd}} < 80\%$  unwirtschaftlich

$\frac{M_{rd}}{M_{sd}} > 100\%$  unsicher

→ ② Querschnitt verkleinern

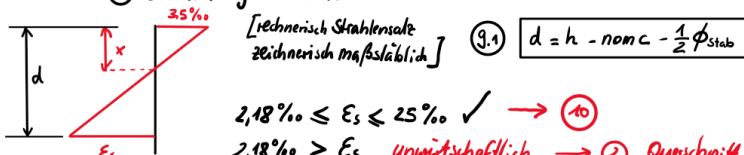
→ ② Querschnitt vergrößern

⑦ Vorgabe Betonfestigkeit  $f_{ck}$

⑧ Betondruckzone berechnen

$$f_{cd} = 0,85 \cdot \frac{f_{ck}}{1,5} \quad F_{cd} = 0,95 \cdot f_{cd} \cdot b \cdot h_b \quad \text{mit } F_{cd} \stackrel{!}{=} F_{sd} \quad \Rightarrow \quad h_b = \frac{F_{sd}}{0,95 \cdot f_{cd} \cdot b} \quad \text{Höhe der Betondruckzone: } x = \frac{h_b}{0,8}$$

⑨ Stahldehnung bestimmen



⑨.2 Vorgabe  $E_c = -3,5\%$  (Betondruckstauchung)  
 ⑨.3 Dreisatz:  $\frac{3,5\%}{x} = \frac{E_s}{d-x}$

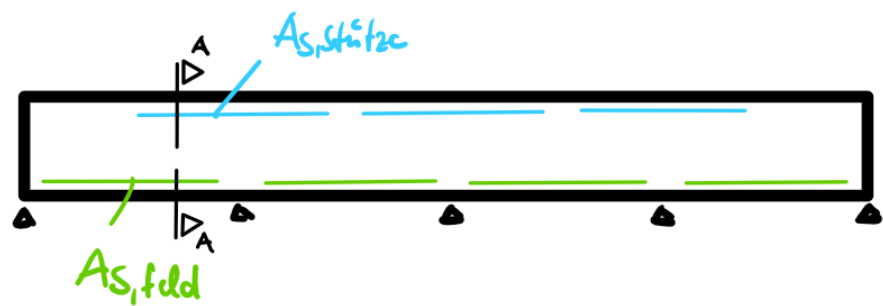
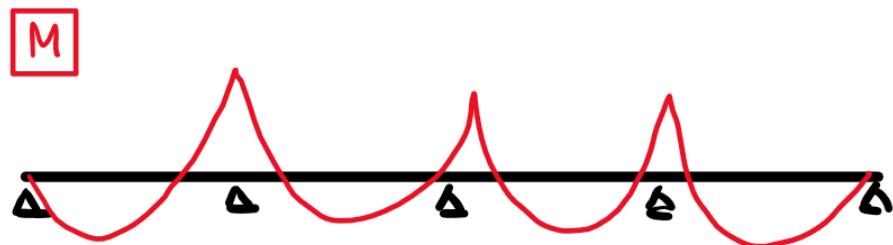
$2,18\% \leq E_s \leq 25\% \quad \rightarrow ⑩$

$2,18\% > E_s$  unwirtschaftlich → ② Querschnitt verkleinern oder → ④ Stahl reduzieren

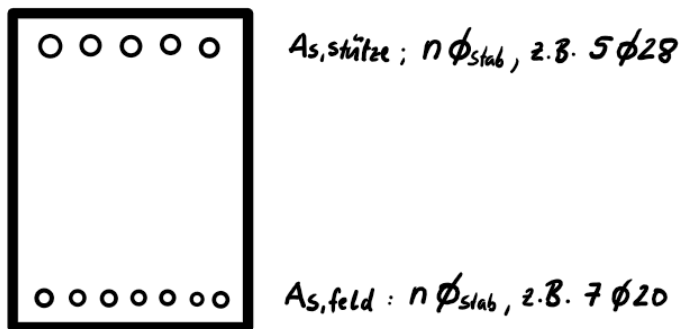
$E_s > 25\%$  unsicher → ② Querschnitt vergrößern oder → ④ Stahl erhöhen

⑩ Innerer Hebelarm:

$$z = d - \frac{1}{2} h_b \quad \left\{ \begin{array}{l} z \geq 0,95 \cdot z_{\text{aus } ⑨} \quad \checkmark \\ z < 0,95 \cdot z_{\text{aus } ⑨} \quad \rightarrow ② \text{ Querschnitt vergrößern} \end{array} \right.$$



SCHNITT A-A (Bewehrungskizze):



## 7. Eigene Notizen

---

